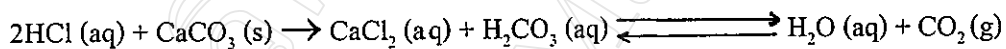


บทที่ 3

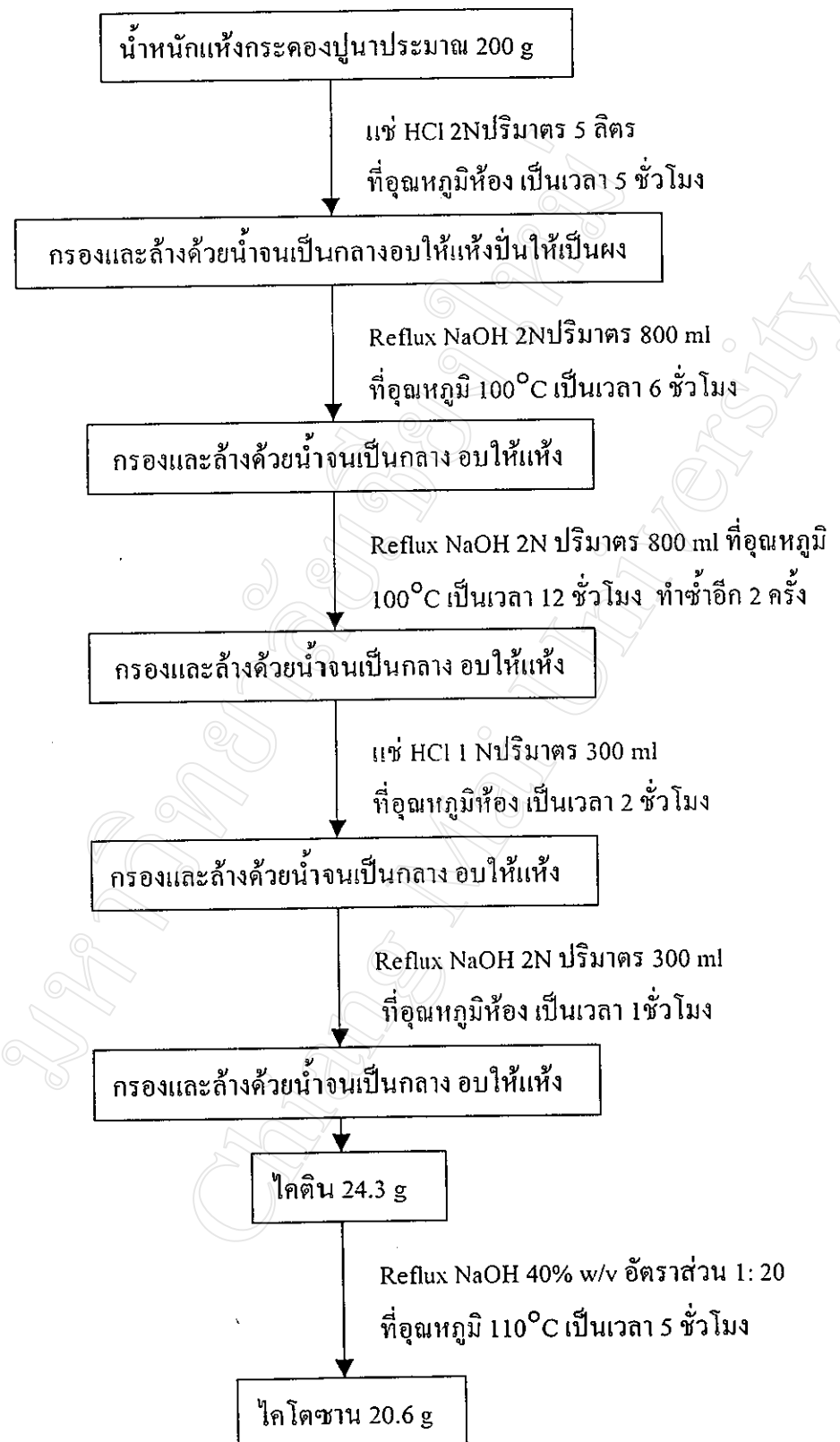
วิจารณ์และสรุปผลการทดลอง

ได้เตรียมไคตินและไกโตกานจากเหลววัตถุดิบ 2 ชนิด คือ กระดองปูน้าและคราบจักจี้ เพื่อใช้เป็นสารตั้งต้นในการสังเคราะห์ชัลเฟเตดไกโตกานแบบสุ่ม จากการค้นคว้าวารสารต่างๆ ทั้งภายในและภายนอกประเทศประมาณ 10 ปีข้อนหลัง พนวยยังไม่มีการนำเอกสารของปูน้าและคราบจักจี้มาเตรียมเป็นไคตินและไกโตกาน งานนี้ทำการแยกขนาดโมเลกุลของชัลเฟเตดไกโตกานแบบสุ่ม ออกเป็น 3 ช่วง ด้วยเฉลพอร์มิอชัน โครมาโทกราฟ และหนานหันก์ โมเลกุลเฉลี่ด้วยการวัดความหนืดของสารละลายเจือจาง เพื่อนำไปทดสอบสมบัติทางเคมี และสมบัติทางชีวภาพ โดยเปรียบเทียบผลกับการสังเคราะห์ชัลเฟเตดไกโตกานแบบสุ่ม และแบบเลือกเข้าในตัวແนงที่จำเพาะเจาะจงจากไกโตกานพาณิชย์ และการสังเคราะห์ชัลเฟเตดพอดิแอลกออลล์

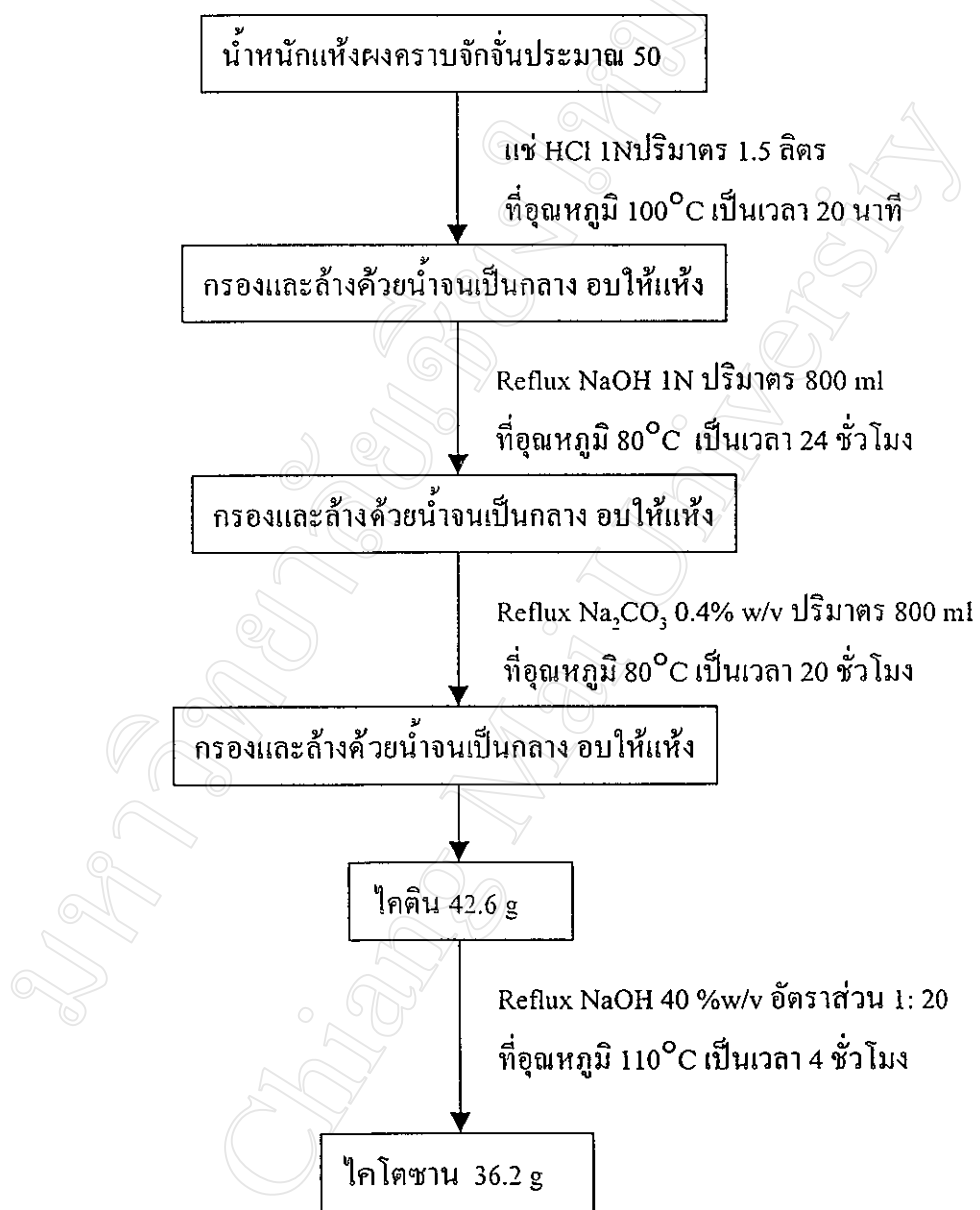
ในการเตรียมไคติน ไกโตกานจากการของปูน้า และคราบจักจี้โดยใช้วิธีที่พัฒนาจากวิธีของ Hackman¹ และ Zhang และคณะ⁴⁰ ซึ่งสรุปขั้นตอนการเตรียม (คูรูปที่ 3.1 และ 3.2 ตามลำดับ) จากรูปที่ 3.1 และ 3.2 จะเห็นว่าใช้สารละลายกรดไฮดร็อกอโรบิกในการกำจัดแคลเซียม คาร์บอเนต จะให้ผลิตภัณฑ์เป็นแคลเซียมคลอไรด์ และกรดคาร์บอนิก แต่เมื่องจากกรดคาร์บอนิกไม่ค่อยเสถียรจึงถูกดูดซึมน้ำ ได้ออกไซด์กันน้ำ ดังสมการ



ใช้สารละลายโซเดียมไฮครอไชด์ในการกำจัดโปรตีน และใช้อาหารออลในการกำจัดตีจากผลการทดลอง (คูตรางที่ 3.1) พบว่าสามารถเตรียมไคตินจากการของปูน้าได้ 12.2% ไกโตกาน 10.3% และเตรียมไคตินจากการของคราบจักจี้ได้ 85.2% ไกโตกาน 72.4% จากตารางที่ 3.1 เปอร์เซ็นต์ไคตินและไกโตกานจากการของคราบจักจี้มีมากกว่าในกระดองปูน้า เนื่องจากวัตถุดิบที่ใช้เตรียมไคติน และไกโตกานมีองค์ประกอบต่างกัน โดยเฉพาะในกระดองปูนามีองค์ประกอบส่วนใหญ่เป็นแคลเซียมคาร์บอเนต และโปรตีน ดังนั้นมีอิทธิพลของไคตินและไกโตกานต่อน้ำหนักวัตถุดิบซึ่งมีน้อยกว่าคราบจักจี้⁴¹ นอกจากนี้การเตรียมไคติน และไกโตกานจากการของปูนายังใช้สภาวะที่รุนแรงกว่า และใช้เวลาในการกำจัดหมู่อะซิทิลนานกว่า⁴⁰ (คูรูปที่ 3.1 และ 3.2) เมื่อวิเคราะห์หาเปอร์เซ็นต์องค์ประกอบการกำจัดหมู่อะซิทิลในตัวอย่างไกโตกานโดยวิธินิวไฮดริน (คูตรางที่ 2.17) ซึ่งนิวไฮดรินเป็นสารออกซิไดส์ซิงເອເຈນຕ์ (oxidizing agent) สามารถทำปฏิกิริยา กับหมู่อะมีโนให้สารสีน้ำเงินม่วงของ "diketohydrinlylide-diketohydrinlamine"³⁵ ซึ่งสามารถแสดงกลไกการเกิดปฏิกิริยา (คูรูปที่ 1.8)



รูปที่ 3.1 สรุปขั้นตอนการเตรียมไคติน และไคโตกานจากกระดองปูนา



รูปที่ 3.2 สรุปขั้นตอนการเตรียมไอคิดิน และไอโคโซานจากครามจั่น

จากผลการทดลองพบว่า ไคโตซานจากกระดองปูนามีเบอร์เซ็นต์ของสาขของการกำจัดหมู่แอดซิทิลเท่ากับ 76 และไคโตซานจากครานจักจั่นมีเบอร์เซ็นต์ของสาขของการกำจัดหมู่แอดซิทิลเท่ากับ 80 ดังนั้นปฏิกิริยาการกำจัดหมู่แอดซิทิลในไคตินจากครานจักจั่นจะง่ายกว่าการกำจัดหมู่แอดซิทิลในไคตินจากกระดองปูน

ในการทดลองนี้ได้เปรียบเทียบวิธีการหาเพอร์เซ็นต์ของสาขของการกำจัดหมู่แอดซิทิล (คุณตรางที่ 2.18) โดยวิธี ninhydrin และ potenitometric titration พบว่าเพอร์เซ็นต์ของสาขของหมู่แอดซิทิล โดยวิธี ninhydrin มีค่าใกล้เคียงกับวิธีของ potenitometric titration ซึ่งวิธี ninhydrin เป็นการหาเพอร์เซ็นต์ของหมู่อะมีโนอิสระในสายโซ่ไคโตซาน⁴⁵ เมื่อทราบเพอร์เซ็นต์ในไตรเจนทั้งหมดจากการวิเคราะห์เพอร์เซ็นต์ของชาตุ ควรบอน ไฮโครเจน ในไตรเจน ก็จะทราบเพอร์เซ็นต์ของชาของกำจัดหมู่แอดซิทิลจากเพอร์เซ็นต์ของหมู่อะมีโนอิสระหารด้วยเพอร์เซ็นต์ในไตรเจนทั้งหมด ส่วนในตัวอย่างไคโตซานพาราฟิล์มเท่านั้น ที่มีเพอร์เซ็นต์ของสาขของการกำจัดหมู่แอดซิทิลต่ำกว่าปกติมาก ทั้งนี้อาจเนื่องมาจากการตัวอย่างไคโตซันพาราฟิล์มนี้เพอร์เซ็นต์ของสาขของการกำจัดหมู่แอดซิทิลไม่เท่ากันทั้งหมด ดังนั้นการสุ่มตัวอย่างมาวิเคราะห์จะเลือกเฉพาะผงเล็กๆเพื่อย้ายต่อการละลายอาจเป็นไปได้ว่าตัวอย่างที่สุ่มมาวิเคราะห์จะมีเพอร์เซ็นต์ของสาขของการกำจัดหมู่แอดซิทิลต่ำ (ทำการทดลอง 2 ชั้ง)

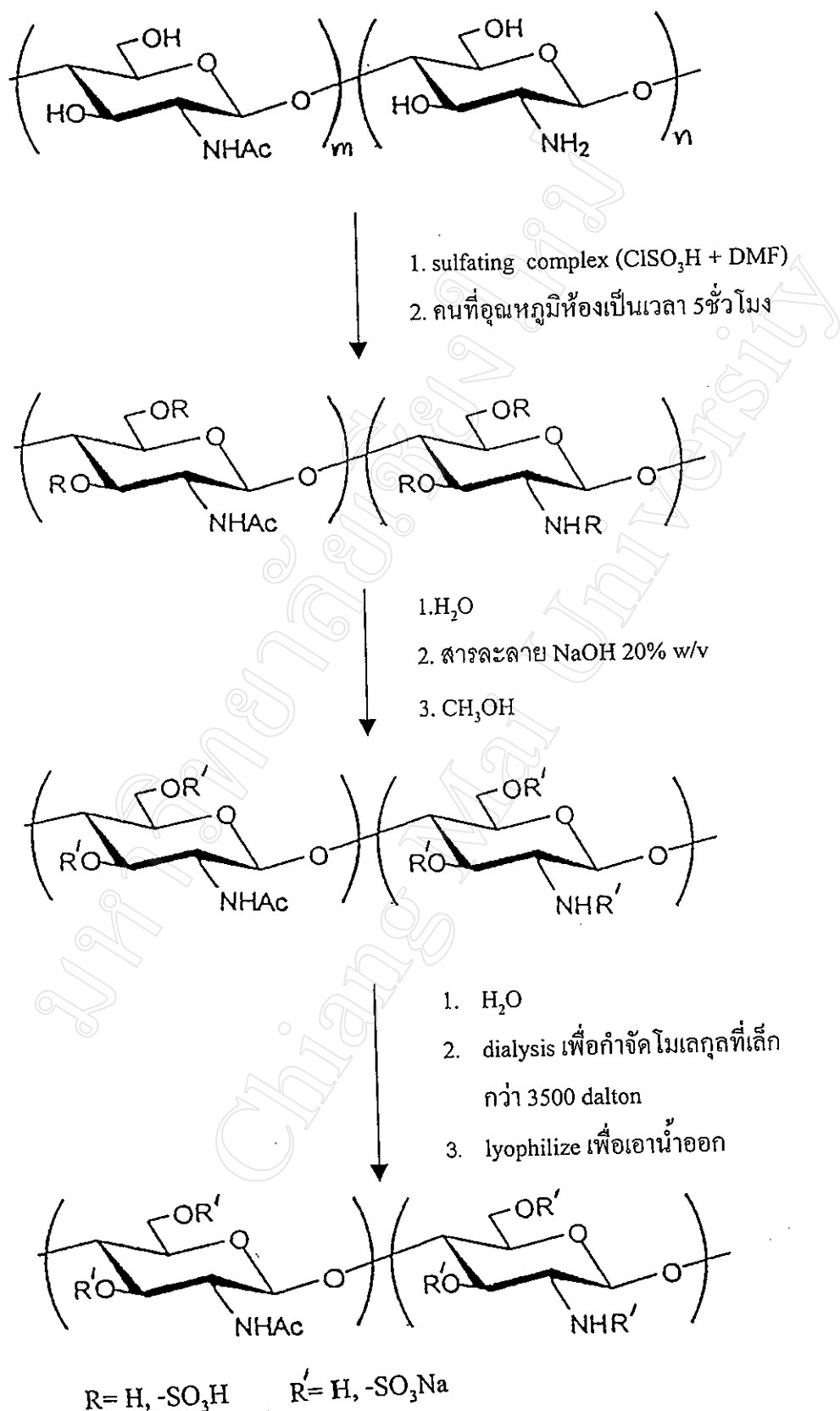
จากการศึกษา IR spectrum ของไคติน และไคโตซาน (คุณปที่ 2.25 และ 2.26) และ (คุณตรางที่ 2.21 และ 2.22) จะพบว่าไคตินจากกระดองปูนจะมีพีคที่ 1650 และ 1625 cm⁻¹ เป็น C=O stretching ของเอโไมค์ และพีคที่ 1550 cm⁻¹ เป็น N-H bending ของเอโไมค์ ส่วนไคโตซานจะมีพีคที่ 1570 cm⁻¹ เป็น N-H bending ของเอเมิน สำหรับไคตินจากครานจักจั่นจะมีพีคที่ 1655 และ 1625 cm⁻¹ เป็น C=O stretching ของเอโไมค์ และไคโตซานจะมีพีคที่ 1590 cm⁻¹ เป็น N-H bending ของเอเมิน และจากการศึกษา solid state CP-MAS ¹³C-NMR spectroscopy ของไคโตซาน³³ (คุณปที่ 2.34) และ (คุณตรางที่ 2.28) พบว่าไคโตซานจากกระดองปูนามี δ ที่ (174.01, C=O), (104.49, C-1), (83.16, C-4), (75.77, C-3, C-5), (61.09, C-6), (57.08, C-2) และ (22.83, CH₃) ppm ตามลำดับ

จากการศึกษาค่าหมุนจำเพาะของไคโตซานจากกระดองปูนา และครานจักจั่น^{45,51} โดยนำไคโตซานมาละลายในสารละลายกรดอะซีติก และวัดค่าการหมุนระนาบแสดงโพลาริซ์ (คุณตรางที่ 2.16) พบว่าไคโตซานจากกระดองปูนาและครานจักจั่นจะอยู่ใน β-D-(-)-form โดยไคโตซานจากกระดองปูนา และครานจักจั่นจะมีค่าการหมุนจำเพาะ [α]_D²⁸ เท่ากับ -19° และ -22.8° ตามลำดับ

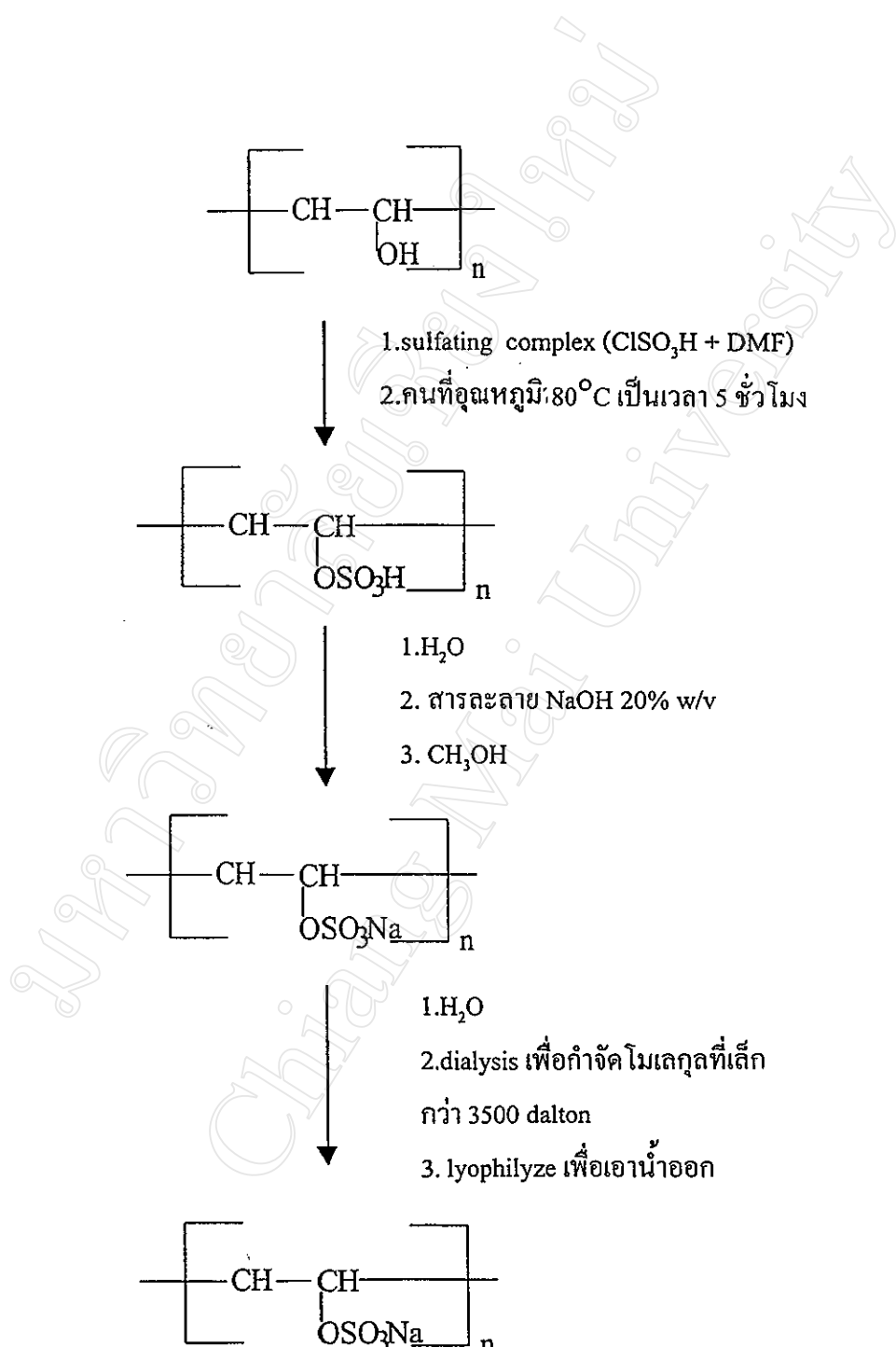
จากการศึกษาโครงสร้างผลึกของไคติน และไกโตซานด้วยเทคนิค X-ray diffraction spectrometry⁵⁷ (คูรูปที่ 2.31 และ 2.32) และ (ตารางที่ 2.27) จะพบว่าการเปลี่ยนโครงสร้างจากไคติน เป็นไกโตซานโดยปฏิริยาการกำจัดหมู่แอดซิทิลด้วยสารละลายด่างเข้มข้นนี้ จะทำให้ความเป็นผลึกลดลงโดยคูจากพีคที่ 2θ พบร่วมกับความเข้มของพีคสูงสุดเป็น 19.17° ($d\text{-spacing} = 4.62$) และ 19.26° ($d\text{-spacing} = 4.62$) สำหรับไคตินจากการระดองปูน้า และทราบจักกันนี้ โดยความเข้มของพีคที่ 2θ จะลดลง และจะ broad มากขึ้นจึงมีผลทำให้ $d\text{-spacing}$ ลดลง โดยที่ 2θ พบร่วมกับพีคที่ 19.47° ($d\text{-spacing} = 4.55$) และ 19.75° ($d\text{-spacing} = 4.49$) สำหรับไกโตซานจากการระดองปูน้า และทราบจักกันนี้ นอกเหนือความเป็นผลึกยังมีผลต่อความสามารถในการละลายของไคตินและไกโตซาน จากการทดลองจะเห็นว่าไคตินจะมีความสามารถเป็นผลึกมากกว่าไกโตซาน ดังนั้นไคตินจึงมีความสามารถในการละลายได้ในตัวทำละลายหรือสารละลายต่างๆ ได้น้อยกว่าไกโตซาน ซึ่งทำให้การนำไกโตซานไปประยุกต์ใช้ได้กว้างขวางกว่าไคติน

ในการสังเคราะห์ชัลเฟเดคไกโตซานจากไกโตซานพาณิชย์ สรุปขั้นตอนการเตรียมชัลเฟเดคไกโตซาน (คูรูปที่ 3.3) ส่วนชัลเฟเดคไกโตซานจากการระดองปูน้า และทราบจักกันนี้ทำการทดลองเช่นเดียวกับชัลเฟเดคไกโตซานจากไกโตซานพาณิชย์ และการสังเคราะห์ชัลเฟเดค พอลิไวนิลแอลกอฮอล์ และพอลิเอทธิลีนกลียโคลแบบสุ่ม สรุปขั้นตอนการเตรียม (คูรูปที่ 3.4 และ 3.5) โดยใช้วิธีของ Gemzazade และคณะ⁴⁷ จากการทดลองพบว่าผลิตภัณฑ์ชัลเฟเดคที่สังเคราะห์ได้จากไกโตซานพาณิชย์มากกว่าไกโตซานจากการระดองปูน้า และทราบจักกันนี้ พอลิเอทธิลีนไกลโคล และพอลิไวนิลแอลกอฮอล์ ตามลำดับ

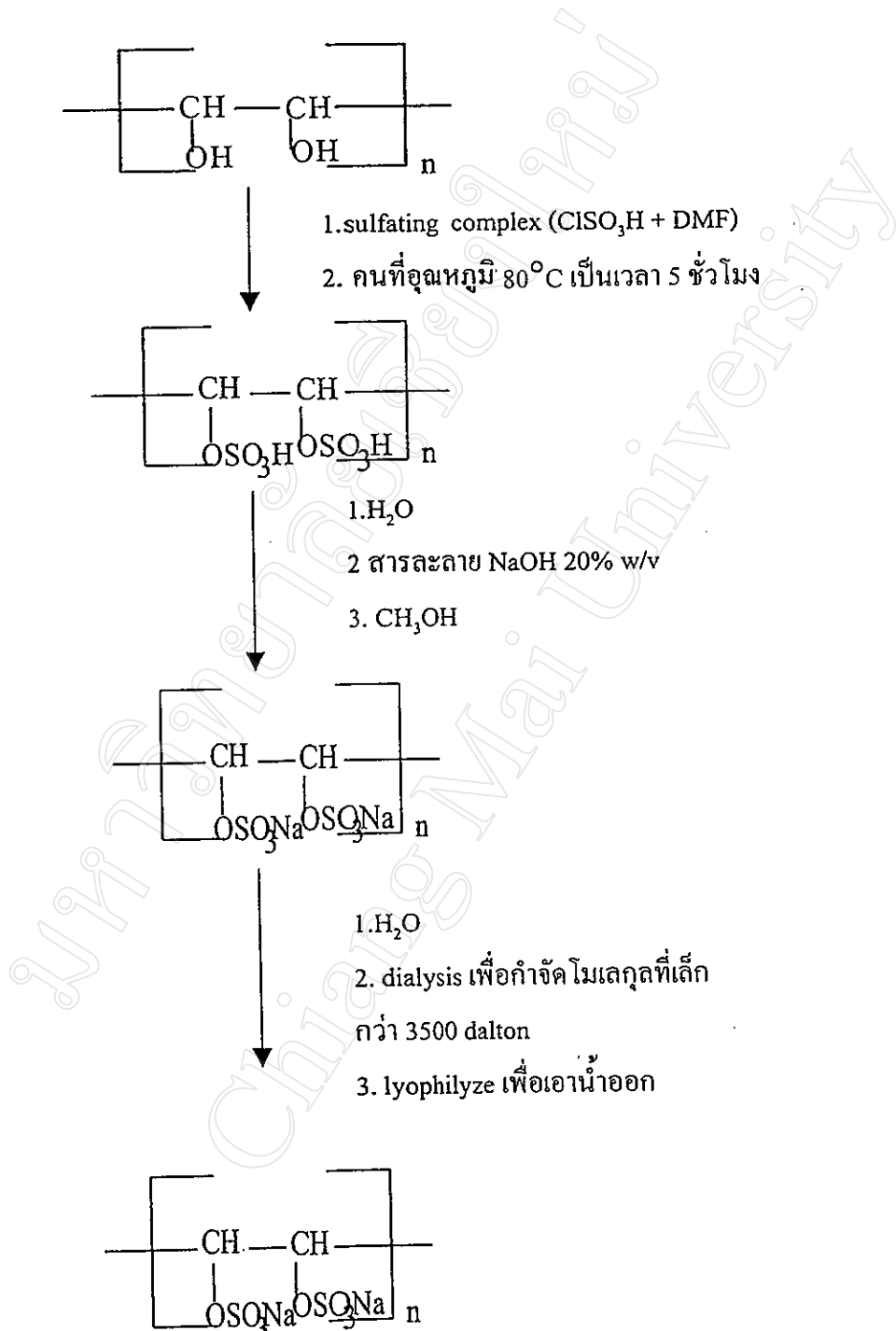
สำหรับขั้นตอนการสังเคราะห์ชัลเฟเดคไกโตซานจะต้องเตรียมไกโตซานให้อยู่ในรูปเจลที่มีตัวทำละลายผสมอยู่เพื่อทำลายพันธะไไซโตรเจน โครงสร้างผลึกในสายโซ่ไกโตซาน และเพิ่มความสามารถในการละลายในสารประกอบเชิงช้อนชัลเฟเดค ซึ่งในการทดลองนี้ใช้กรดคลอโรซัลโฟนิกในตัวทำละลาย ไคเมทิลฟอร์มาโนิด (CISO₃H ใน DMF) โดยจะเกิดเป็นสารประกอบเชิงช้อนชัลเฟเดค ซึ่งมีกลไกดังนี้ (คูรูปที่ 3.6)



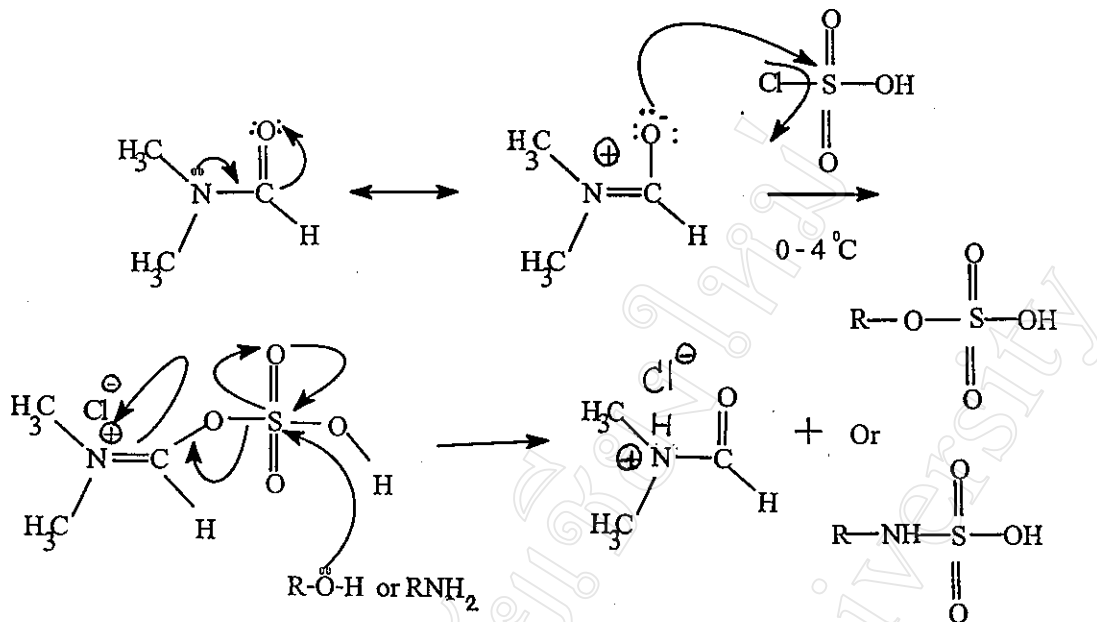
รูปที่ 3.3 สรุปขั้นตอนการสังเคราะห์ชัลเฟเดตiko โ拓ชานจากiko โ拓ชานพาณิชย์



รูปที่ 3.4 สรุปขั้นตอนการสังเคราะห์ซัลเฟตเดคพอลิไวนิลแอลกอฮอล์



รูปที่ 3.5 สรุปขั้นตอนการสังเคราะห์ชัลเฟเตดพอลิเอธีลีนกลั่นโคล



รูปที่ 3.6 แสดงกลไกการเกิดสารประกอบเชิงช้อนซัลเฟต^{46,59}

นอกจากนี้สารประกอบเชิงช้อนซัลเฟตที่ใช้จะเสถียรท่ออุณหภูมิต่ำ จึงสามารถเกิดปฏิกิริยาได้ดีกับไฮโดรเจนในรูปเจลที่มีตัวทำละลายผสมอยู่ในสารประกอบเชิงช้อนซัลเฟต สามารถละลายเป็นเนื้อเดียวกันทำให้การเติมหมู่ซัลเฟตเกิดขึ้นได้ดีในสายโซ่ไฮโดรเจน ส่วนการสังเคราะห์ซัลเฟtedpoliiและกอ肖ล์ สารตัวอย่างไม่ละลายเป็นเนื้อเดียวกับสารประกอบเชิงช้อนซัลเฟต ดังนั้นจึงต้องให้ความร้อนเพื่อทำให้สารตัวอย่างสามารถละลายเป็นเนื้อเดียวกันกับสารประกอบเชิงช้อนซัลเฟต ซึ่งทำให้พอลีไวนิลแอลกอฮอล์ และพอลีเอธิลีนกลัลี่โคลเกิดการเสื่อมสภาพของสายพอลิเมอร์⁵⁹ ทำให้ได้ผลิตภัณฑ์น้อยกว่าการสังเคราะห์จากไฮโดรเจน

จากการศึกษา IR spectrum ของซัลเฟtedไฮโดรเจน และซัลเฟtedpoliiและกอ肖ล์ (รูปที่ 2.24, 2.25, 2.26, 2.27 และ 2.28) และ (ตารางที่ 2.20, 2.21, 2.22, 2.23 และ 2.24) พบว่า ซัลเฟtedไฮโดรเจนทั้ง 3 ชนิด และซัลเฟtedpoliiไวนิลแอลกอฮอล์ มีพีคที่ 1240 cm^{-1} เป็นของ S=O stretching และพีคที่ 800 cm^{-1} เป็นของ S-O stretching ของหมู่ซัลเฟต ส่วนซัลเฟtedpoliiเอธิลีนกลัลี่โคลมีพีคที่ 1120 cm^{-1} เป็นของ S=O stretching และพีคที่ 590 cm^{-1} เป็นของ S-O stretching ของหมู่ซัลเฟต และเป็นที่น่าสังเกตว่าพีค N-H bending ของเอนีนของไฮโดรเจนทั้ง 3 ชนิดที่อยู่ในช่วง $1570\text{-}1590\text{ cm}^{-1}$ หายไป แสดงว่าจาก IR-spectrum สามารถที่จะบอกได้ว่า การแทนที่ของหมู่ซัลเฟตเกิดขึ้นที่ตำแหน่งของหมู่อะมีโนในสายโซ่ไฮโดรเจน นอกจากนี้ยังทราบจากการใช้วิธินิไฮดรินทดสอบหาปริมาณของหมู่อะมีโนอิสระที่เหลืออยู่ในตัวอย่างซัลเฟted

ไก่โตชาน พนว่าปริมาณของหมู่อะมีโนอิสระลดลงอย่างมาก และคงว่าการแทนที่ของหมู่ชัลเฟตเกิดขึ้นที่ตำแหน่งของหมู่อะมีโนจริง นอกจากนี้วิธีนินไฮดรินยังเป็นวิธีที่ใช้หาองค์ของหมู่ชัลเฟต (DS) ในตัวอย่างไก่โตชานที่ตำแหน่งหมู่อะมีโนอิสระ (-NH₂) (ดูตารางที่ 2.19) จากผลการทดลองพบว่า องค์ของหมู่ชัลเฟตเดือนไก่โตชานจากไก่โตชานพาร์บิชย์ กระดองปูนา และคราบจักจั่น มีค่าเท่ากับ 2.30 2.30 และ 1.97 ตามลำดับ ซึ่งหมายความว่าในหนึ่งหน่วยไก่โตชานจะมีหมู่ชัลเฟตอยู่ 2.30 2.30 และ 1.97 หมู่ แต่ตามทฤษฎีถ้าการแทนที่ของหมู่ชัลเฟตเกิดขึ้นอย่างสมบูรณ์ จะมีค่าเท่ากับ 3 โดยข้อดึงของวิธีนี้ คือ ค่าใช้จ่ายในการวิเคราะห์ไม่แพงและใช้เครื่องมือทางสเปกตรอฟิตอเมตอร์ซึ่งเป็นเครื่องมือพื้นฐาน และมีราคาถูก

จากการศึกษา ¹H-NMR spectrum ของชัลเฟตเดือนไก่โตชานจากไก่โตชานพาร์บิชย์ (ดูรูปที่ 2.37) และ (ตารางที่ 2.29) ใช้ D₂O เป็นตัวทำละลาย พนว่าที่ δ (4.92, H-1), (4.56, H-3S), (4.25, H-4, H-5), (3.97, H-6S), (3.69, H-6), (3.45, H-2S), (3.15, H-2), และ (2.05, CH₃) ppm ตามลำดับ ชัลเฟตเดือนไก่โตชานจากกระดองปูนา (ดูรูปที่ 2.38) และ (ตารางที่ 2.30) ใช้ D₂O เป็นตัวทำละลาย พนว่าที่ δ (4.97, H-1), (4.60, H-3S), (4.35-4.23, H-4, H-5), (4.01, H-6S), (3.92, H-6), (3.41, H-2S), (3.18, H-2), และ (2.05, CH₃) ppm ตามลำดับ และชัลเฟตเดือนไก่โตชานจากคราบจักจั่น (ดูรูปที่ 2.39) และ (ตารางที่ 2.31) ใช้ D₂O เป็นตัวทำละลาย พนว่าที่ δ (4.95, H-1), (4.59, H-3S), (4.37-4.22, H-4, H-5), (4.00, H-6S) (3.38, H-2S), และ (2.05, CH₃) ppm ตามลำดับ

ในการแปลผล ¹H-NMR spectrum ของชัลเฟตเดือนไก่โตชาน สามารถที่จะทราบตำแหน่งของหมู่ชัลเฟตในสายโซ่ไก่โตชาน เนื่องจากโปรตอนที่เกากับอะตอมคาร์บอนที่มีหมู่ชัลเฟต มากกว่าปกติ (คือค่า δ จะเลื่อนไปในทิศทางสนามแม่เหล็กที่ต่ำกว่าปกติ) ทั้งนี้เนื่องมาจากอิทธิพลของ inductive effect ของหมู่ชัลเฟต จากรายงานของ Gamzazade และคณะ⁴⁷ พนว่าในการแปลผล ¹H-NMR spectrum ของชัลเฟตเดือนไก่โตชาน พีค H-3S จะอยู่ที่ตำแหน่ง δ 4.6 ppm และพีค H-6S จะอยู่ที่ตำแหน่ง δ 4.0 ppm นอกจากนี้ Holme และ Perlin⁴⁹ พนว่าพีค H-2S จะอยู่ที่ตำแหน่ง δ 3.15 ppm และพีค H-2 จะอยู่ที่ตำแหน่ง δ 2.74 ppm

จากการศึกษา ¹³C-NMR spectrum ของชัลเฟตเดือนไก่โตชานจากไก่โตชานพาร์บิชย์ (ดูรูปที่ 2.35) และ (ตารางที่ 2.28) ใช้ D₂O เป็นตัวทำละลาย พนว่าที่ δ (100.21, C-1), (58.20, C-2S), (80.97, C-3S), (79.62, C-4), (75.62, C-5), (69.53, C-6S), (177.50, C=O), (25.27, CH₃) ppm ตามลำดับ ชัลเฟตเดือนไก่โตชานจากกระดองปูนา (ดูรูปที่ 2.36) และ (ตารางที่ 2.28) ใช้ D₂O เป็นตัวทำละลายพนว่าที่ δ (99.63, C-1), (57.99, C-2S), (78.87, C-3S), (75.52, C-4) และ (75.52, C-5), (69.51, C-6S) ในการแปลผล ¹³C-NMR spectrum ของชัลเฟตเดือนไก่โตชานสามารถที่จะทราบตำแหน่งของหมู่ชัลเฟตในสายโซ่ไก่โตชานได้โดยใช้หลักการเดียวกับ ¹H-NMR spectroscopy

เนื่องจากสารบอนที่มีหมู่ชัลเฟตมากจะจะมีค่า δ มากกว่าปกติ (คือค่า δ จะเดือนไปในทิศทาง相同แม่เหล็กที่ต่างกันปกติ)

จากการศึกษา X-ray diffractogram ของชัลเฟเตดไคโตซาน (ดูรูปที่ 2.30 2.31 และ 2.32 และตารางที่ 2.27) จะเห็นว่าไม่พบความเป็นผลึกของชัลเฟเตดไคโตซาน โดยสังเกตจากพีคที่ 2θ ที่ประมาณ 19° ซึ่งเป็นพีคที่บอกรายละเอียดความเป็นผลึกของไคโตซานจะหายไป มีผลทำให้ชัลเฟเตดไคโตซานละลายน้ำได้ดี ทั้งนี้อาจเนื่องมาจากการเติมหมู่ชัลเฟตลงไปในสายโซ่ไคโตซานทำให้ไคโตซานสูญเสียความเป็นผลึกไป โดยอยู่ในรูปของเกลือโซเดียมชัลเฟต ซึ่งในการทดลองนี้ได้หาปริมาณโซเดียมด้วยวิธีอะตอนมิกแอบซอร์พชันสเปกโทรเมทรี⁶ ดังนั้นข้อดีของชัลเฟเตดไคโตซานคือสามารถที่จะละลายน้ำได้ดีเมื่อเทียบกับไคตินและไคโตซานที่ไม่ละลายน้ำจึงเหมาะสมสำหรับนำไปประยุกต์ใช้ทางด้านการแพทย์ และค้าน้ำตาลต่อไป

จากการศึกษาค่าการหมุนจำเพาะของชัลเฟเตดไคโตซาน (ดูตารางที่ 2.16) จะพบว่าชัลเฟเตดไคโตซานจะอยู่รูป β -D-(-)-form เช่นเดียวกับไคโตซาน และค่าการหมุนจำเพาะ $[\alpha]^{25}_D$ จะลดลงโดยมีค่าเท่ากัน -7.6° - 9.5° และ -10.5° สำหรับชัลเฟเตดไคโตซานจากไคโตซานพาลิชีร์ กระดองปูนา และคราบจักษันตามลำดับ

จากการแยกขนาดโมเลกุลของชัลเฟเตดไคโตซาน โดยใช้เจลเพอร์มิเอชันโถร์มาโทกราฟีสามารถแบ่งขนาดโมเลกุลเป็น 3 ช่วง ตามค่า K_d โดยพีค 1 จะมีค่า K_d เท่ากับ 0.15 และพีค 2 จะมีค่า K_d เท่ากับ 0.50 (ดูรูปที่ 2.7 2.8 และ 2.9) โดยทำการเก็บ fraction ละ 2 มิลลิลิตร และทดสอบชัลเฟเตดไคโตซานที่ถูกฉีดด้วย 1,9-Dimethylmethylen Blue ให้สารละลายสีม่วงวัดค่าการดูดกลืนแสงที่ความยาวคลื่นที่ 540 นาโนเมตร และหน้าหนักโมเลกุลเฉลี่ยของชัลเฟเตดไคโตซานและน้ำหนักโมเลกุลเฉลี่ยของชัลเฟเตดไคโตซานที่แยกตามขนาดโมเลกุลทั้ง 3 ช่วง ด้วยวิธีการวัดความหนืดของสารละลายเจือจาง โดยใช้สภาวะจากสารอ้างอิงดังนี้⁷ ใช้ตัวทำละลายเป็นสารละลายโซเดียมคลอไรด์ 0.1 โมลาร์ จากตารางที่ 2.4 ถึงตารางที่ 2.15 และรูปที่ 2.11 ลิงรูปที่ 2.22 สามารถที่จะคำนวณหาค่าความหนืดที่แท้จริง ([η]) จากนั้นนำไปแทนค่าในสมการของ Mark-Houwink Sukurada⁸

$$[\eta] = 1.75 \times 10^{-5} M^{0.98}$$

ทำให้ทราบน้ำหนักโมเลกุลเฉลี่ยของชัลเฟเตดไคโตซาน จากการทดลองพบว่าน้ำหนักโมเลกุลเฉลี่ยของชัลเฟเตดไคโตซานมีค่าอยู่ในช่วง 1.2×10^4 ถึง 7.1×10^4 ดาตตัน

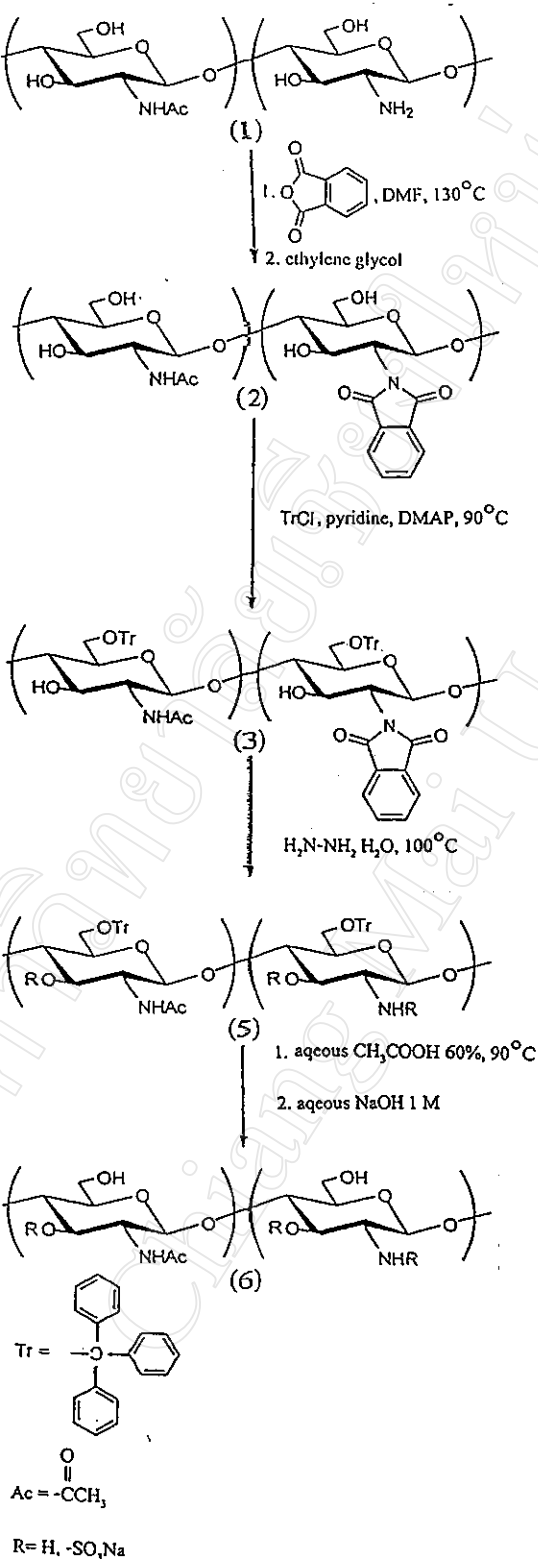
ทำให้ทราบน้ำหนักโมเลกุลเฉลี่ยของชัลเฟเตต์ไคโตกาน จากการทดลองพบว่า น้ำหนักโมเลกุลเฉลี่ยของชัลเฟเตต์ไคโตกานมีค่าอยู่ในช่วง 1.2×10^4 ถึง 7.1×10^4 Dalton

การสังเคราะห์ชัลเฟเตต์ไคโตกานจากไคโตกานพาราฟิล์มแบบเลือกเข้าในตำแหน่งที่จำเพาะเจาะจง โดยใช้วิธีของ Nishimura และคณะ^{38,52} ในการสังเคราะห์นี้ เป็นการเติมหมู่ชัลเฟตที่carboxylic acid ในตำแหน่งที่ 2 และ 3 สรุปขั้นตอนการสังเคราะห์ (ดูรูปที่ 3.7)

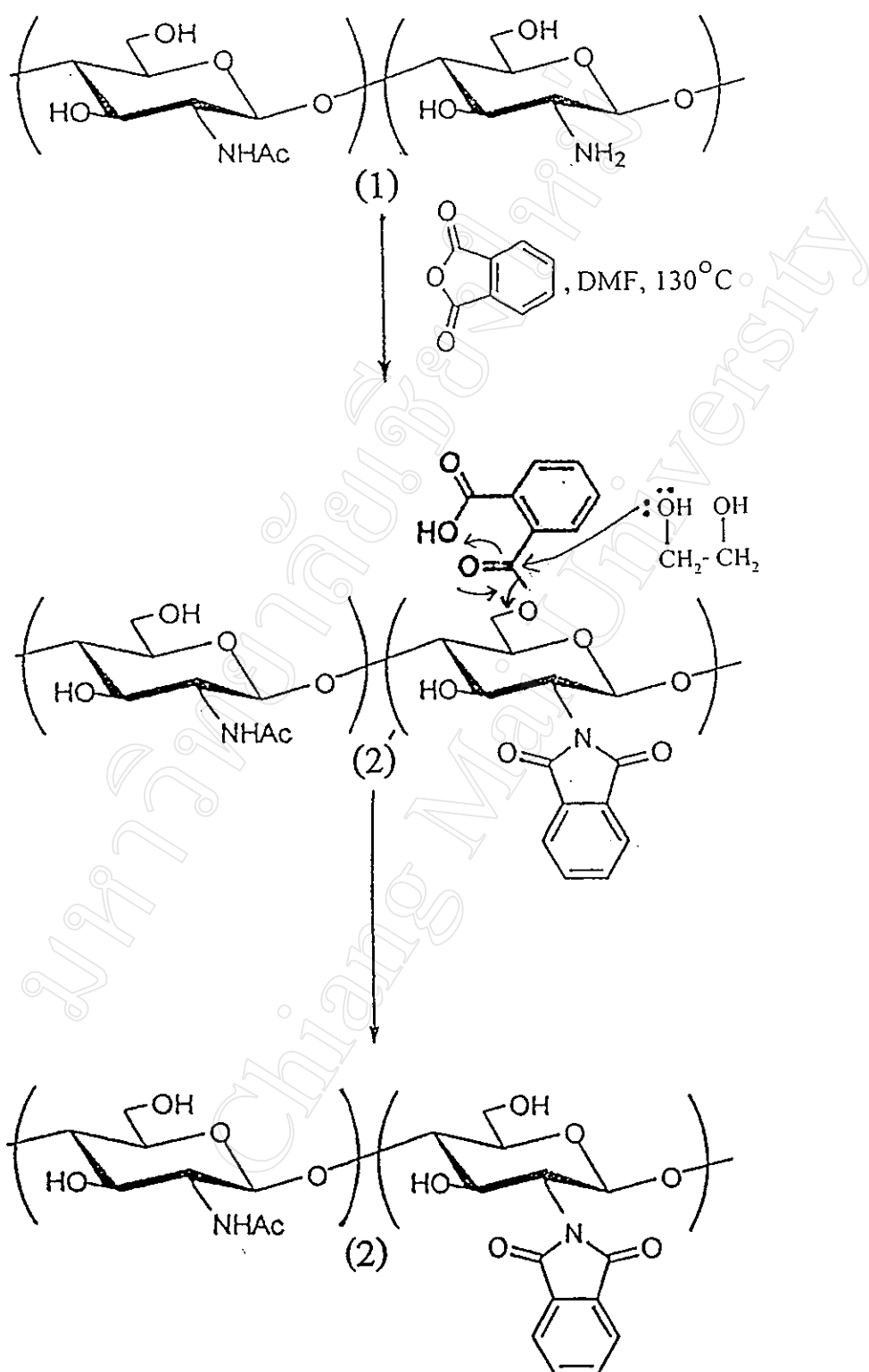
ในการสังเคราะห์อนุพันธ์ไคโตกาน (2) โดยการเติมพาราฟลูอิด ไอกไซด์ และเอธิลีนกลั่ยไคลอโรฟอร์ม ให้กับไคโตกานพาราฟิล์ม (1) ในตัวทำละลาย ไดเมทิลฟอร์มาไมด์ที่ปราศจากน้ำ ที่อุณหภูมิ 130°C ภายใต้บรรยายกาศในไตรเจน เป็นเวลา 5 ชั่วโมง พบว่าผลิตภัณฑ์ที่ได้มีลักษณะเป็นผงสีน้ำตาล 3.87 กรัม(46.0% yield) จากการศึกษา IR spectrum (ดูรูปที่ 2.41) และ (ตารางที่ 2.32) พบว่า พีกที่ 1770 และ 1710 cm^{-1} เป็น C=O stretching ของอิมไนด์ (imide)

จากการศึกษา $^1\text{H-NMR}$ spectrum (ดูรูปที่ 2.43) และ (ตารางที่ 2.35) ใช้ DMSO-d₆ เป็นตัวทำละลาย พบว่าที่ δ (7.76-7.31, aromatic ring), (5.16, H-1), (4.75, H-3), (4.14, H-5) และ (3.80-3.10, H-2, H-4, H-6, H-6) ppm ตามลำดับ

จากการศึกษา X-ray diffractogram (ดูรูปที่ 2.42) และ (ตารางที่ 2.33) พบว่าอนุพันธ์ไคโตกาน (2) มีพีกที่ 2θ เท่ากับ 13.49° (d-spacing = 6.57) เมื่อเทียบกับไคโตกานพาราฟิล์ม (1) จะเห็นว่าอนุพันธ์ไคโตกาน (2) จะสูญเสียความเป็นผลึกจากการเติมหมู่พาราฟลูอิดในสายโซ่ไคโตกาน ทำให้อนุพันธ์ไคโตกาน (2) สามารถละลายได้ในตัวทำละลายอินทรีย์บางชนิด เช่น พิริดิน ไคเมทิลฟอร์มาไมด์ และไคเมทิลชัลโลฟายด์ เป็นต้น⁵² แต่เนื่องจากในสายโซ่ไคโตกานมีหมู่ไอกไซด์ที่สามารถเกิด O-phthaloylation ได้^{60,61} แต่จากการทดลองพบว่าผลิตภัณฑ์อนุพันธ์ไคโตกาน (2) ที่สังเคราะห์ได้จะไม่เกิด O-phthaloylation หรือเกิดเป็นวง (cyclization) ไม่สมบูรณ์ ที่ตำแหน่งในไตรเจนของไคโตกาน โดยดูจาก IR spectrum (ดูรูปที่ 2.41) และ (ตารางที่ 2.32) จะไม่พบพีกที่ความถี่ $2700-2600\text{ cm}^{-1}$ เป็น O-H stretching ของ free carboxyl และพีกที่ความถี่ 1290 , 1260 cm^{-1} เป็น C-O stretching ของอสเทอร์ แต่ในการทดลองได้เติมเอธิลีนกลั่ยไคลอโรฟอร์มไปในปฏิกิริยาเพื่อป้องกันการเกิด O-phthaloylation โดยเอธิลีนกลั่ยไคลอโรฟอร์มจะทำปฏิกิริยา tranesterification ให้ N-phthalimido chitosan เท่านั้น³⁸ โดยปฏิกิริยาจะเกิดผ่าน phthalamic acid ซึ่งแสดงกลไก (ดูรูปที่ 3.8)⁶¹



รูปที่ 3.7 สรุปขั้นตอนการสังเคราะห์ 2-Deoxy-2-sulfoamino-3-O-sulfo-(1 \rightarrow 4)- β -D-glucopyranan (6)



รูปที่ 3.8 แสดงกลไกการเกิดปฏิกิริยา tranesterification โดยเอธีลีนกลั่ยโคล⁶¹

ในการสังเคราะห์อนุพันธ์ไฮโดรเจน (3) โดยการเติมสาร 4-ไทดีเมทิลอะมีโนพิริดีน และคลอรอไตรฟินิลเมเทนในอนุพันธ์ไฮโดรเจน (2) ในตัวทำละลายพิริดีนที่ปราศจากน้ำ ที่อุณหภูมิ 90°C ภายใต้บรรยากาศในโตรเจน เป็นเวลา 24 ชั่วโมง โดยปฏิกิริยาจะเกิดที่หมู่ไฮดรอกซีที่คาร์บอนตำแหน่งที่ 6 เท่านั้น เนื่องจากหมู่ไตรฟินิลเมเทนเป็นหมู่มีขนาดใหญ่และมีความเกลกะมาก⁵² ดังนั้นจึงไม่เกิดปฏิกิริยาที่หมู่ไฮดรอกซีที่คาร์บอนตำแหน่งที่ 3 พนบว่าผลิตภัณฑ์ที่สังเคราะห์ได้มีลักษณะเป็นผงสีเหลืองอ่อน 6.94 กรัม (73.5% yield) จากการศึกษา IR spectrum (คูรูปที่ 2.41) และ (ตารางที่ 2.32) พนบว่าพีกที่ 750, 710 และ $690\text{ cm}^{-1}\text{ m}^{-1}$ เป็น =C-H bending out of plane ของวงเบนซีน

จากการศึกษา $^1\text{H-NMR}$ spectrum (คูรูปที่ 2.44) และ (ตารางที่ 2.36) ใช้ DMSO-d₆ เป็นตัวทำละลายพบว่าที่ δ (7.78-6.99, aromatic ring), (4.92, H-1), (4.77, H-3), (3.75, H-5) และ (3.48-2.88, H-2, H-4, H-6, H-6) ppm ตามลำดับ

จากการศึกษา X-ray diffractogram (คูรูปที่ 2.42) และ (ตารางที่ 2.33) พนบว่าอนุพันธ์ไฮโดรเจน (3) มีพีกที่ 2θ เท่ากับ 19.73° (d-spacing = 4.49) เมื่อเทียบกับไฮโดรเจนพาราณิชย์ (1) จะเห็นว่าอนุพันธ์ไฮโดรเจน (3) ความเป็นผลึกจะลดลงจากการเติมหมู่ไตรฟินิลเมเทนในสายโซ่ไฮโดรเจนทำให้อนุพันธ์ไฮโดรเจน (3) สามารถถลายน้ำได้ในตัวทำละลายอินทรีย์บางชนิด เช่นเดียวกับอนุพันธ์ไฮโดรเจน (2)

ในการสังเคราะห์อนุพันธ์ไฮโดรเจน (4) โดยการกำจัดหมู่พาทาลิมิโดยที่คาร์บอนตำแหน่งที่ 2 ของอนุพันธ์ไฮโดรเจน (3) ให้เป็นหมู่อะมีโนด้วยไฮดรอซินโนโนไฮเครตและน้ำ ที่อุณหภูมิ 100°C ภายใต้บรรยากาศในโตรเจน เป็นเวลา 12 ชั่วโมง ทำซ้ำ 3 ครั้ง พนบว่าผลิตภัณฑ์ที่สังเคราะห์ได้มีลักษณะเป็นผงสีขาว 3.35 กรัม (73.0% yield) จากการศึกษา IR spectrum (คูรูปที่ 2.41) และ (ตารางที่ 2.36) พนบว่าพีกที่ 1600 cm^{-1} เป็น N-H bending ของอะมีน

จากการศึกษา $^1\text{H-NMR}$ spectrum (คูรูปที่ 2.45) และ (ตารางที่ 2.37) ใช้ DMSO-d₆ เป็นตัวทำละลายที่ δ (7.76-7.21, aromatic ring), (4.70, H-1, H-3) และ (4.06-3.06, H-2, H-4, H-5, H-6, H-6) ppm ตามลำดับ

จากการศึกษา X-ray diffractogram (คูรูปที่ 2.42) และ (ตารางที่ 2.33) พนบว่าอนุพันธ์ไฮโดรเจน (4) มีพีกที่ 2θ เท่ากับ 13.20° (d-spacing = 6.70) เมื่อเทียบกับไฮโดรเจนพาราณิชย์ (1) จะเห็นว่าอนุพันธ์ไฮโดรเจน (4) จะสูญเสียความเป็นผลึกจากการกำจัดหมู่พาทาลิมิโดยในสายโซ่ไฮโดรเจน ทำให้อนุพันธ์ไฮโดรเจน (4) สามารถถลายน้ำได้ในตัวทำละลายอินทรีย์เฉพาะพิริดีนเท่านั้น เนื่องจากโครงสร้างกลับมาเป็นไฮโดรเจน

ในการสังเคราะห์อนุพันธ์ไฮโดรเจน (5) โดยการเติมหมู่ชัลเฟตที่คาร์บอนตำแหน่งที่ 2 และ 3 ในอนุพันธ์ไฮโดรเจน (4) ด้วยสารประกอบเชิงซ้อนชัลเฟอร์ไตรอออกไซด์-พิริดินในตัวทำละลายพิริดินที่ปราศจากน้ำ ที่อุณหภูมิ 80°C ภายใต้บรรยายกาศในโตรเจน เป็นเวลา 2 ชั่วโมง จากนั้นตกรตะกอนในเอทานอลและนำตะกอนมาละลายน้ำกลั่นทำให้ออยู่ในรูปของเกลือโซเดียมชัลเฟต ด้วยสารละลายโซเดียมไฮดรอกไซด์ หลังจากได้แลดิชิสและขัดน้ำออก พบร่วมกับผลิตภัณฑ์ที่สังเคราะห์ได้มีลักษณะคล้ายสำลีสีขาว 0.24 กรัม (9.88% yield) จากการศึกษา IR spectrum (คูรูปที่ 2.41 และตารางที่ 2.36) พบร่วมกับ 1450 และ 1499 cm^{-1} เป็น $=\text{C}-\text{H}$ bending out of plane ของวงบนเซ็น และพีกที่ 1240 และ 800 cm^{-1} เป็น $\text{S}=\text{O}$ stretching และ $\text{S}-\text{O}$ stretching ของหมู่ชัลเฟต

จากการศึกษา $^1\text{H-NMR}$ spectrum (คูรูปที่ 2.46) และ (ตารางที่ 2.38) ใช้ $\text{DMSO}-\text{d}_6$ เป็นตัวทำละลายที่ δ (7.36 - 7.10 , aromatic ring), (4.85 , H-1), (4.36 , H-4, H-5), (4.63 , H-3S), (3.72 , H-6) 3.15 , H-2S) ppm ตามลำดับ

ในการสังเคราะห์อนุพันธ์ไฮโดรเจน (6) เมื่อเติมหมู่ชัลเฟตที่คาร์บอนตำแหน่งที่ 2 และ 3 ในอนุพันธ์ไฮโดรเจน (5) แล้วจะต้องนำหมู่ไทรฟินิลเมเทนที่คาร์บอนตำแหน่งที่ 6 ออก ด้วยสารละลายกรดอะซีติกเข้มข้น 60%v/v ที่อุณหภูมิ 90°C เป็นเวลา 1 ชั่วโมง จากนั้นตกรตะกอนในเอทานอลและนำตะกอนมาละลายน้ำกลั่นทำให้ออยู่ในรูปของเกลือโซเดียมชัลเฟต ด้วยสารละลายโซเดียมไฮดรอกไซด์ หลังจากได้แลดิชิสและขัดน้ำออก พบร่วมกับผลิตภัณฑ์ที่สังเคราะห์ได้มีลักษณะคล้ายสำลีสีขาว 0.05 กรัม (41.67% yield) จากการศึกษา IR spectrum (คูรูปที่ 2.41) และ (ตารางที่ 2.36) พบร่วมกับ 1240 และ 800 cm^{-1} เป็น $\text{S}=\text{O}$ stretching และ $\text{S}-\text{O}$ stretching ของหมู่ชัลเฟต

จากการศึกษา $^1\text{H-NMR}$ spectrum (คูรูปที่ 2.47) และ (ตารางที่ 2.39) ใช้ D_2O เป็นตัวทำละลายที่ δ (4.98 , H-1), (4.68 , H-3S), (4.40 - 4.28 , H-4, H-5), (3.90 , H-6), (3.08 , H-2S) ppm ตามลำดับ

สำหรับผลการทดสอบการยับยั้งการแข็งตัวของเลือด ของผลิตภัณฑ์ชัลเฟเตดไฮโดรเจน และชัลเฟเตเดพอลิแอลกอฮอล์ โดยเปรียบเทียบกับสารมาตรฐานเซฟพาริน ซึ่งทำการทดลองโดยอาจารย์ปริyanada วงศ์จันทร์ ภาควิชาภูมิคุ้มกันคลินิก คณะเทคโนโลยีแพทย์ มหาวิทยาลัยเชียงใหม่ จากการทดลองพบว่า ที่ปริมาณ 2 นาโนกรัมของชัลเฟเตดไฮโดรเจนจากไฮโดรเจนพานิช พีค 1 พีค 2 และ พีค 3 ให้ผลการยับยั้งการแข็งตัวของเลือดเท่ากับ 0.06, 0.13, 0.20 และ 0.12 (IU/ml) ของเซฟพารินตามลำดับ ชัลเฟเตดไฮโดรเจนจากกระดองปูนา พีค 1 พีค 2 และ พีค 3 ให้ผลการยับยั้งการแข็งตัวของเลือดเท่ากับ 0.05, 0.06, 0.06 และ 0.06 (IU/ml) ตามลำดับ

ชัลเฟเตดไฮโดรเจนจากครามจักกัน พีค 1 พีค 2 และ พีค 3 ให้ผลการยับยั้งการแข็งตัวของเลือดเท่ากับ 0.05, 0.03, 0.05 และ 0 (IU/ml) ของเซพาริน ตามลำดับ ชัลเฟเตดไฮโดรเจนจากไฮโดรเจนพานิชย์ที่เลือกเข้าในตำแหน่งที่จำเพาะเจาะจง (6) ให้ผลการยับยั้งการแข็งตัวของเลือดเท่ากับ 0.03 (IU/ml) ของเซพาริน และชัลเฟเตดโพลีไวนิลแอกโกรอล และชัลเฟเตดโพลีอีรีลีน-กลัลไฮคล ไม่มีผลต่อการยับยั้งการแข็งตัวของเลือด

จากผลการยับยั้งการแข็งตัวของเลือดสามารถถูกปิรายผลการทดลองดังนี้ ถ้าค่า (IU/ml) ของเซพารินมีค่ามาก แสดงถึงความสามารถในยับยั้งการแข็งตัวของเลือดได้นานกว่าเลือดจะแข็งตัว ซึ่งกลไกการทำงานของสารที่สมบูรณ์ถ่ายเซพาริน สามารถที่จะเร่งการทำงานของ antithrombin III (AT III) ซึ่งในธรรมชาติจะเป็นตัวยับยั้งการแข็งตัวของเลือดแต่มีปริมาณน้อยในการยับยั้ง factor Xa ซึ่งเป็น coagulant factor เรียกการยับยั้งนี้ว่า "neutralization" จะทำให้เลือดแข็งตัวช้าลง

จากผลการทดลองจะพบว่า ชัลเฟเตด ไกโตซานจากไกโตซานพาร์บีไซให้ผลยับยั้งการแข็งตัวของเลือดคึกว่าชัลเฟเตด ไกโตซานจากกระองปูนา และคราบจักจัน และเมื่อศึกษาขนาดโมเลกุลของชัลเฟเตด ไกโตซานจะพบว่า ช่วงน้ำหนักโมเลกุลเฉลี่ย 2.3×10^4 ถึง 3.6×10^4 Dalton จะให้ผลยับยั้งการแข็งตัวของเลือดสูง ทั้งนี้เนื่องมาจากการขนาดโมเลกุลอาจมีผลต่อการยับยั้งการแข็งตัวของเลือด ซึ่งขนาดใหญ่เกินไปและเล็กเกินไปก็ให้ผลที่ไม่ดี⁵⁰ เนื่องจากการสังเคราะห์ชัลเฟเตด ไกโตซานนี้ พ่อเลียนแบบสารที่มีสมบัติคล้ายเซพารินที่มีในธรรมชาติ ดังนั้นถ้าขนาดใหญ่เกินไปอาจไปรบกวนหรือเกิดความเกะกะ ถ้าขนาดเล็กเกินไปก็ไม่เพียงพอที่จะไปทำปฏิกิริยาในการยับยั้งการแข็งตัวของเลือด

จากการศึกษาผลขององค์ความองหนู่ซัลเฟต^{51,62} พบว่าซัลเฟตเดคไกโตกานจากไกโตกานพานิชย์ และกระดองปูนนำเมืองความองหนู่ซัลเฟตเท่ากับ 2.30 จะให้ผลลัพธ์ยังการแข็งตั้งของเลือดได้ดีกว่าซัลเฟตเดคไกโตกานจากคราบจักษันที่เมืองความองหนู่ซัลเฟตเท่ากับ 1.97 ส่วนการที่ซัลเฟตเดคไกโตกานจากไกโตกานพานิชย์ให้ผลลัพธ์ยังการแข็งตั้งของเลือดได้ดีกว่าซัลเฟตเดคไกโตกานจากกระดองปูนนั้น อาจเนื่องมาจากผลของตำแหน่งของหนู่ซัลเฟต

เมื่อเปรียบเทียบผลการยับยั้งการแข็งตัวของเลือดจากการล้างเคราะห์ชัลเฟ่เตคลีโคไซด์จากไก่โคล่านาพาราฟิล์มแบบสุ่ม และแบบเลือกเข้าในตำแหน่งที่จำเพาะเจาะจง พบว่าชัลเฟ่เตคลีโคไซด์แบบเลือกเข้าในตำแหน่งที่จำเพาะเจาะจง จะให้ผลการยับยั้งการแข็งตัวของเลือดน้อยกว่าเนื่องจากผลของการแข็งตัวของหมู่ชัลเฟต์ ซึ่ง Nishimura และคณะ³⁸ ได้รายงานว่า หมู่ชัลเฟต์ที่ควรอนึ่งในตำแหน่งที่ 6 ของไก่โคล่านาจะให้ผลยับยั้งการแข็งตัวของเลือดได้ดีกว่าหมู่ชัลเฟต์ที่ควรอนึ่งในตำแหน่งที่ 2 และ 3

ส่วนชั้ลเฟเตคพอลิไวนิลแอลกอฮอล์ และชั้ลเฟเตคพอลิเออร์ลีนกลับโคลไม่ให้ผลการยับยั้งการเจ็งตัวของเดือด สามารถอธิบายได้ว่าชั้ลเฟเตคพอลิเซ็คคาร์โรคเท่านั้น ที่มีสมบัตในการยับยั้งการเจ็งตัวของเดือด ซึ่งขณะนี้ยังไม่มีรายงานว่า พนสารชั้ลเฟเตคของพอลิเมอร์ชนิดอื่นที่ไม่ใช่พอลิเซ็คคาร์โรค และมีสมบัติในการยับยั้งการเจ็งตัวของเดือด